



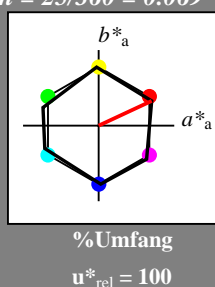
Eingabe: Farbmétrisches Natürliche-Reflektiv-System CNS18  
 für Bunton  $h^* = lab^*h = 25/360 = 0.069$   
 $lab^*tch$  und  $lab^*nch$

D65: Bunton R

LCH\*Ma: 57 77 25

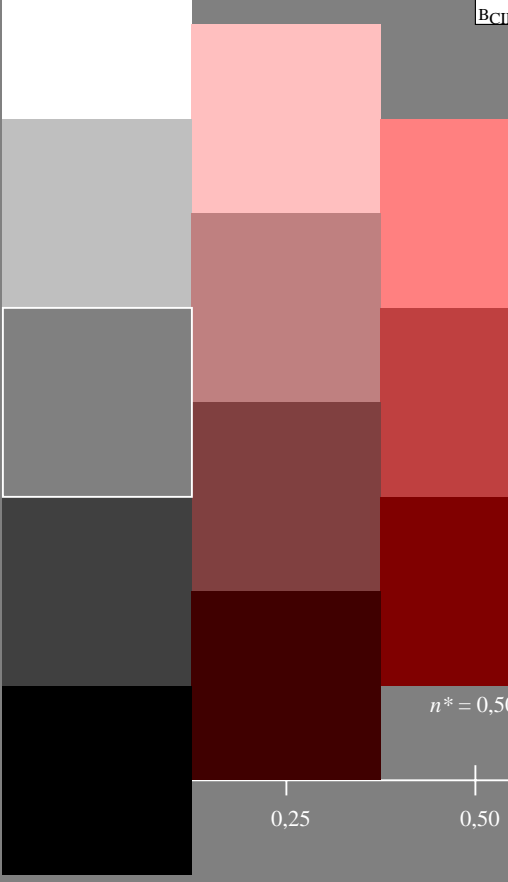
olv\*Ma: 1.0 0.0 0.0

Dreiecks-Helligkeit



### CNS18; adaptierte CIELAB-Daten

	$L^*=L^*_a$	$a^*_{a,a}$	$b^*_{a,a}$	$C^*_{ab,a}$	$h^*_{ab,a}$
RMa	56.7	70.15	32.71	77.4	25
JMa	56.7	-2.69	77.35	77.4	92
GMa	56.7	-73.6	23.92	77.4	162
G50BMa	56.7	-71.24	-30.23	77.4	203
BMa	56.7	2.7	-77.34	77.4	272
B50RMa	56.7	63.4	-44.38	77.4	325
NMa	18.01	0.0	0.0	0.0	0
WMa	95.41	0.0	0.0	0.0	0
RCIE	39.92	58.74	27.99	65.07	25
JCIE	81.26	-2.88	71.56	71.62	92
GCIE	52.23	-42.41	13.6	44.55	162
BCIE	30.57	1.41	-46.46	46.49	272



### %Regularität

$$g^*_{H,rel} = 59$$

$$g^*_{C,rel} = 100$$

1,00

0,75

0,50

0,25

0,00

relative Buntheit  $c^*$

Schwarzheit  $n^*$

n\* = 1,0

n\* = 0,75

n\* = 0,50

n\* = 0,25

n\* = 0,00

relative Buntheit  $c^*$

Schwarzheit  $n^*$

n\* = 1,0

n\* = 0,75

n\* = 0,50

n\* = 0,25

n\* = 0,00

relative Buntheit  $c^*$

Schwarzheit  $n^*$

n\* = 1,0

n\* = 0,75

n\* = 0,50

n\* = 0,25

n\* = 0,00

relative Buntheit  $c^*$

Schwarzheit  $n^*$

n\* = 1,0

1,00

0,75

0,50

0,25

0,00

relative Buntheit  $c^*$

Schwarzheit  $n^*$

n\* = 1,0

n\* = 0,75

n\* = 0,50

n\* = 0,25

n\* = 0,00

relative Buntheit  $c^*$

Schwarzheit  $n^*$

n\* = 1,0

n\* = 0,75

n\* = 0,50

n\* = 0,25

n\* = 0,00

relative Buntheit  $c^*$

Schwarzheit  $n^*$

n\* = 1,0

n\* = 0,75

n\* = 0,50

n\* = 0,25

n\* = 0,00

relative Buntheit  $c^*$

Schwarzheit  $n^*$

n\* = 1,0

n\* = 0,75

n\* = 0,50

n\* = 0,25

n\* = 0,00

relative Buntheit  $c^*$

Schwarzheit  $n^*$

n\* = 1,0

n\* = 0,75

n\* = 0,50

n\* = 0,25

n\* = 0,00

relative Buntheit  $c^*$

Schwarzheit  $n^*$

n\* = 1,0

n\* = 0,75

n\* = 0,50

n\* = 0,25

n\* = 0,00

relative Buntheit  $c^*$

Schwarzheit  $n^*$

n\* = 1,0

n\* = 0,75

n\* = 0,50

n\* = 0,25

n\* = 0,00

relative Buntheit  $c^*$

Schwarzheit  $n^*$

n\* = 1,0

n\* = 0,75

n\* = 0,50

n\* = 0,25

n\* = 0,00

relative Buntheit  $c^*$

Schwarzheit  $n^*$

n\* = 1,0

n\* = 0,75

n\* = 0,50

n\* = 0,25

n\* = 0,00

relative Buntheit  $c^*$

Schwarzheit  $n^*$

n\* = 1,0

n\* = 0,75

n\* = 0,50

n\* = 0,25

n\* = 0,00

relative Buntheit  $c^*$

Schwarzheit  $n^*$

n\* = 1,0

n\* = 0,75

n\* = 0,50

n\* = 0,25

n\* = 0,00

relative Buntheit  $c^*$

Schwarzheit  $n^*$

n\* = 1,0

n\* = 0,75

n\* = 0,50

n\* = 0,25

n\* = 0,00

relative Buntheit  $c^*$

Schwarzheit  $n^*$

n\* = 1,0

n\* = 0,75

n\* = 0,50

n\* = 0,25

n\* = 0,00

relative Buntheit  $c^*$

Schwarzheit  $n^*$

n\* = 1,0

n\* = 0,75

n\* = 0,50

n\* = 0,25

n\* = 0,00

relative Buntheit  $c^*$

Schwarzheit  $n^*$

n\* = 1,0

n\* = 0,75

n\* = 0,50

n\* = 0,25

n\* = 0,00

relative Buntheit  $c^*$

Schwarzheit  $n^*$

n\* = 1,0

n\* = 0,75

n\* = 0,50

n\* = 0,25

n\* = 0,00

relative Buntheit  $c^*$

Schwarzheit  $n^*$

n\* = 1,0

n\* = 0,75

n\* = 0,50

n\* = 0,25

n\* = 0,00

relative Buntheit  $c^*$

Schwarzheit  $n^*$

n\* = 1,0

n\* = 0,75

n\* = 0,50

n\* = 0,25

n\* = 0,00

relative Buntheit  $c^*$

Schwarzheit  $n^*$

n\* = 1,0

n\* = 0,75

n\* = 0,50

n\* = 0,25

n\* = 0,00

relative Buntheit  $c^*$

Schwarzheit  $n^*$

n\* = 1,0

n\* = 0,75

n\* = 0,50

n\* = 0,25

n\* = 0,00

relative Buntheit  $c^*$

Schwarzheit  $n^*$

n\* = 1,0

n\* = 0,75

n\* = 0,50

n\* = 0,25

n\* = 0,00

relative Buntheit  $c^*$

Schwarzheit  $n^*$

n\* = 1,0

n\* = 0,75

n\* = 0,50

n\* = 0,25

n\* = 0,00

relative Buntheit  $c^*$

Schwarzheit  $n^*$

n\* = 1,0

n\* = 0,75

n\* = 0,50

n\* = 0,25

n\* = 0,00

relative Buntheit  $c^*$

Schwarzheit  $n^*$

n\* = 1,0

n\* = 0,75

n\* = 0,50

n\* = 0,25

n\* = 0,00

relative Buntheit  $c^*$

Schwarzheit  $n^*$

n\* = 1,0

n\* = 0,75

n\* = 0,50

n\* = 0,25

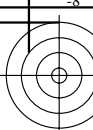
n\* = 0,00

relative Buntheit  $c^*$

Schwarzheit  $n^*$

n\* = 1,0

n\* = 0,75



c  
 Siehe ähnliche Dateien: http://www.ps.bam.de/VG34/  
 Technische Information: http://www.ps.bam.de Version 2.1, io=1/1, CIEXYZ



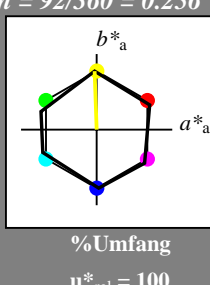
Eingabe: Farbmétrisches Natürliches-Reflektiv-System CNS18  
 für Bunton  $h^* = lab^*h = 92/360 = 0.256$   
 $lab^*tch$  und  $lab^*nch$

D65: Bunton J

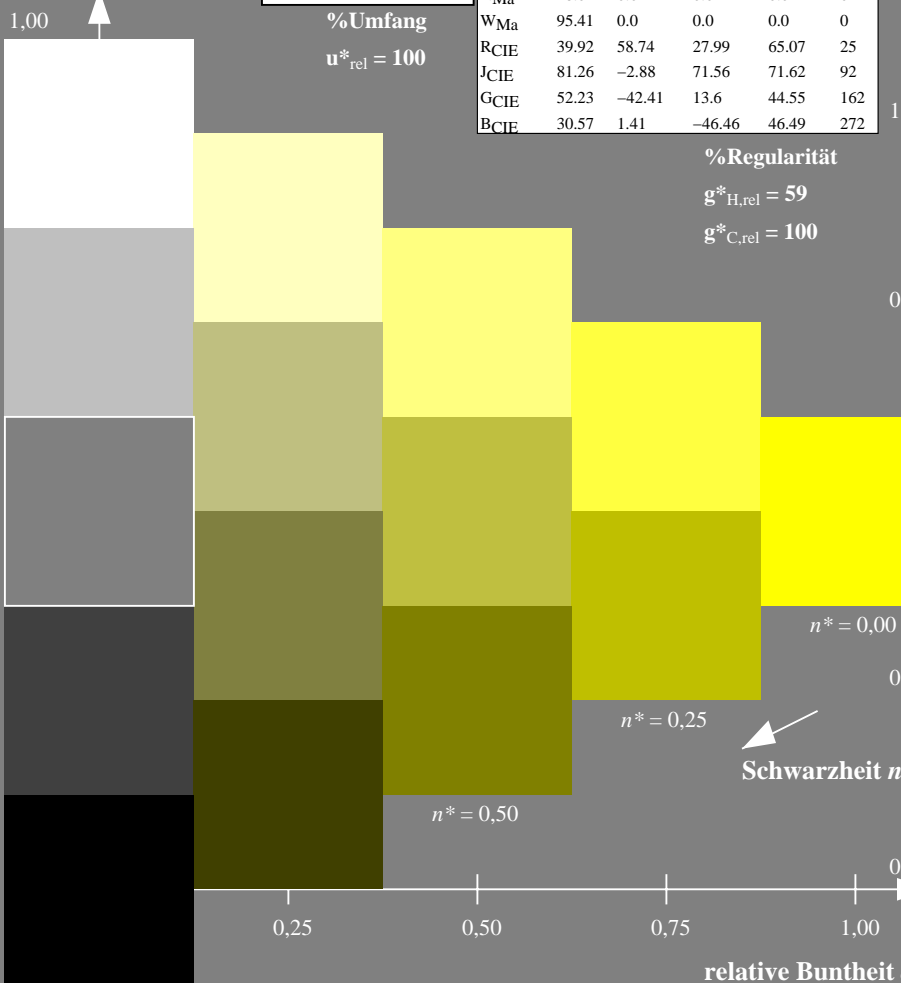
LCH\*Ma: 57 77 92

olv\*Ma: 1.0 1.0 0.0

Dreiecks-Helligkeit



	$L^*=L_a^*$	$a^*_a$	$b^*_a$	$C_{ab,a}^*$	$h_{ab,a}^*$
RMa	56.7	70.15	32.71	77.4	25
JMa	56.7	-2.69	77.35	77.4	92
GMa	56.7	-73.6	23.92	77.4	162
G50BMa	56.7	-71.24	-30.23	77.4	203
BMa	56.7	2.7	-77.34	77.4	272
B50RMa	56.7	63.4	-44.38	77.4	325
NMa	18.01	0.0	0.0	0.0	0
WMa	95.41	0.0	0.0	0.0	0
RCIE	39.92	58.74	27.99	65.07	25
JCIE	81.26	-2.88	71.56	71.62	92
GCIE	52.23	-42.41	13.6	44.55	162
BCIE	30.57	1.41	-46.46	46.49	272



VG340-7, 5 stufige Reihen für konstanten CIELAB Bunton 92/360 = 0.256 (links)

BAM-Prüfvorlage VG34; Farbmétrik-Systeme CNS18 & FRS06 input: olv\* setrgbcolor  
 D65: 5stufige Farbreihen und Koordinatendaten für 10 Bunttöne output: olv\*' (TRI9) setrgbcolor

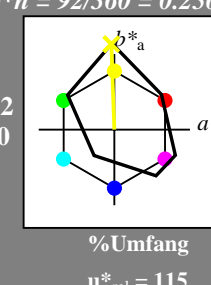
Ausgabe: Farbmétrisches Drucker-Reflektiv-System FRS06  
 für Bunton  $h^* = lab^*h = 92/360 = 0.256$   
 $lab^*tch$  und  $lab^*nch$

D65: Bunton J

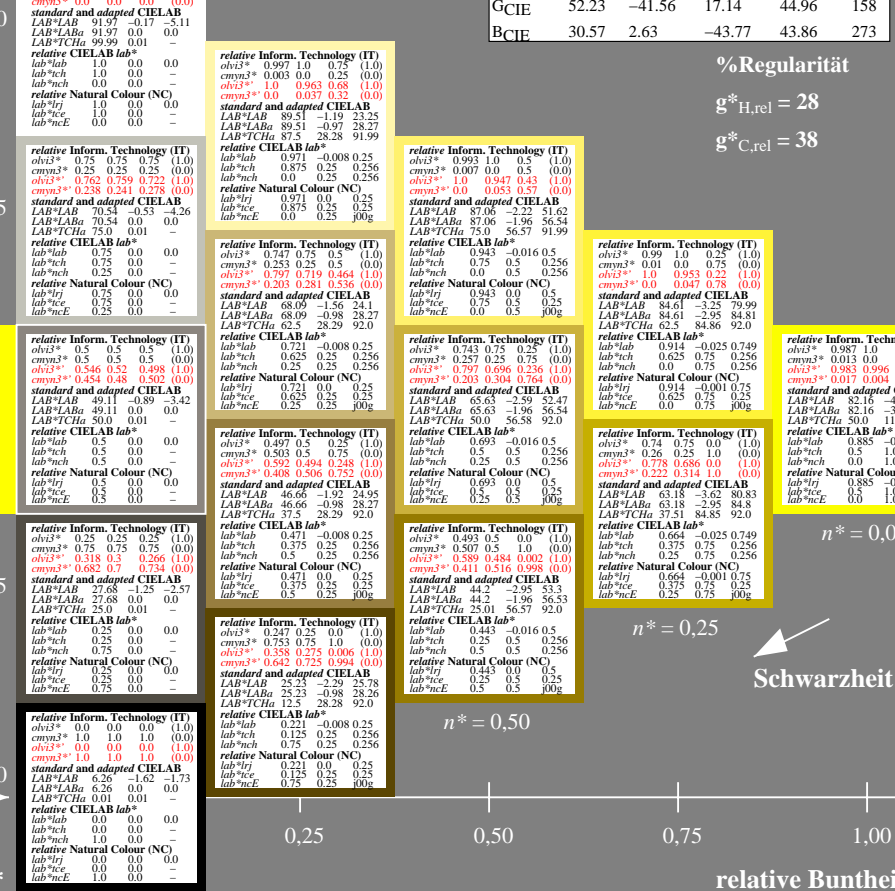
LCH\*Ma: 82 113 92

olv\*Ma: 0.99 1.0 0.0

Dreiecks-Helligkeit



	$L^*=L_a^*$	$a^*_a$	$b^*_a$	$C_{ab,a}^*$	$h_{ab,a}^*$
OMa	32.57	62.32	46.49	77.75	37
YMa	82.73	-3.16	113.99	114.03	92
LMa	39.43	-61.79	45.84	76.95	143
CMa	47.86	-26.79	-34.24	43.49	232
VMa	10.16	55.12	-61.03	82.24	312
MMa	34.5	80.68	-33.92	87.52	337
NMa	6.25	0.0	0.0	0.0	0
WMa	91.97	0.0	0.0	0.0	0
RCIE	39.92	59.8	31.05	67.38	27
JCIE	81.26	-2.52	76.25	76.29	92
GCIE	52.23	-41.56	17.14	44.96	158
BCIE	30.57	2.63	-43.77	43.86	273



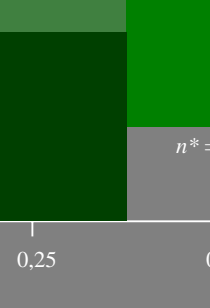
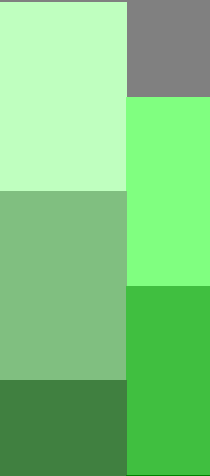
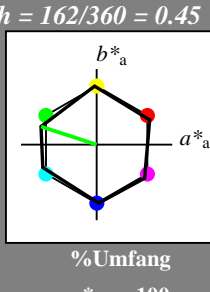
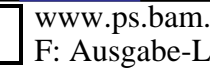
5 stufige Reihen für konstanten CIELAB Bunton 92/360 = 0.256 (rechts)



Eingabe: Farbmétrisches Natürliches-Reflektiv-System CNS18  
 für Bunnton  $h^* = lab^*h = 162/360 = 0.45$   
 $lab^*tch$  und  $lab^*nch$

D65: Bunnton G  
 LCH\*Ma: 57 77 162  
 olv\*Ma: 0.0 1.0 0.0

Dreiecks-Helligkeit



VG340-7, 5 stufige Reihen für konstanten CIELAB Bunnton 162/360 = 0.45 (links)

BAM-Prüfvorlage VG34; Farbmétrik-Systeme CNS18 & FRS06 input: olv\* setrgbcolor  
 D65: 5stufige Farbreihen und Koordinatendaten für 10 Bunntöne output: olv\*' (TRI9) setrgbcolor

Ausgabe: Farbmétrisches Drucker-Reflektiv-System FRS06

für Bunnton  $h^* = lab^*h = 162/360 = 0.45$

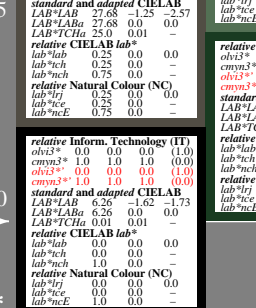
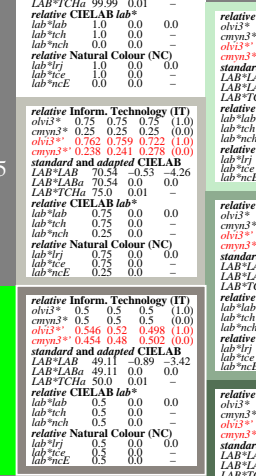
$lab^*tch$  und  $lab^*nch$

D65: Bunnton G

LCH\*Ma: 43 51 162

olv\*Ma: 0.0 1.0 0.37

Dreiecks-Helligkeit



5 stufige Reihen für konstanten CIELAB Bunnton 162/360 = 0.45 (rechts)

BAM-Prüfvorlage VG34; Farbmétrik-Systeme CNS18 & FRS06 input: olv\* setrgbcolor  
 D65: 5stufige Farbreihen und Koordinatendaten für 10 Bunntöne output: olv\*' (TRI9) setrgbcolor

c

M

M

Y

O

O

L

Schwarzheit  $n^*$

V

Y

L

C

C

O

O

Y

M

Schwarzheit  $n^*$

V

C

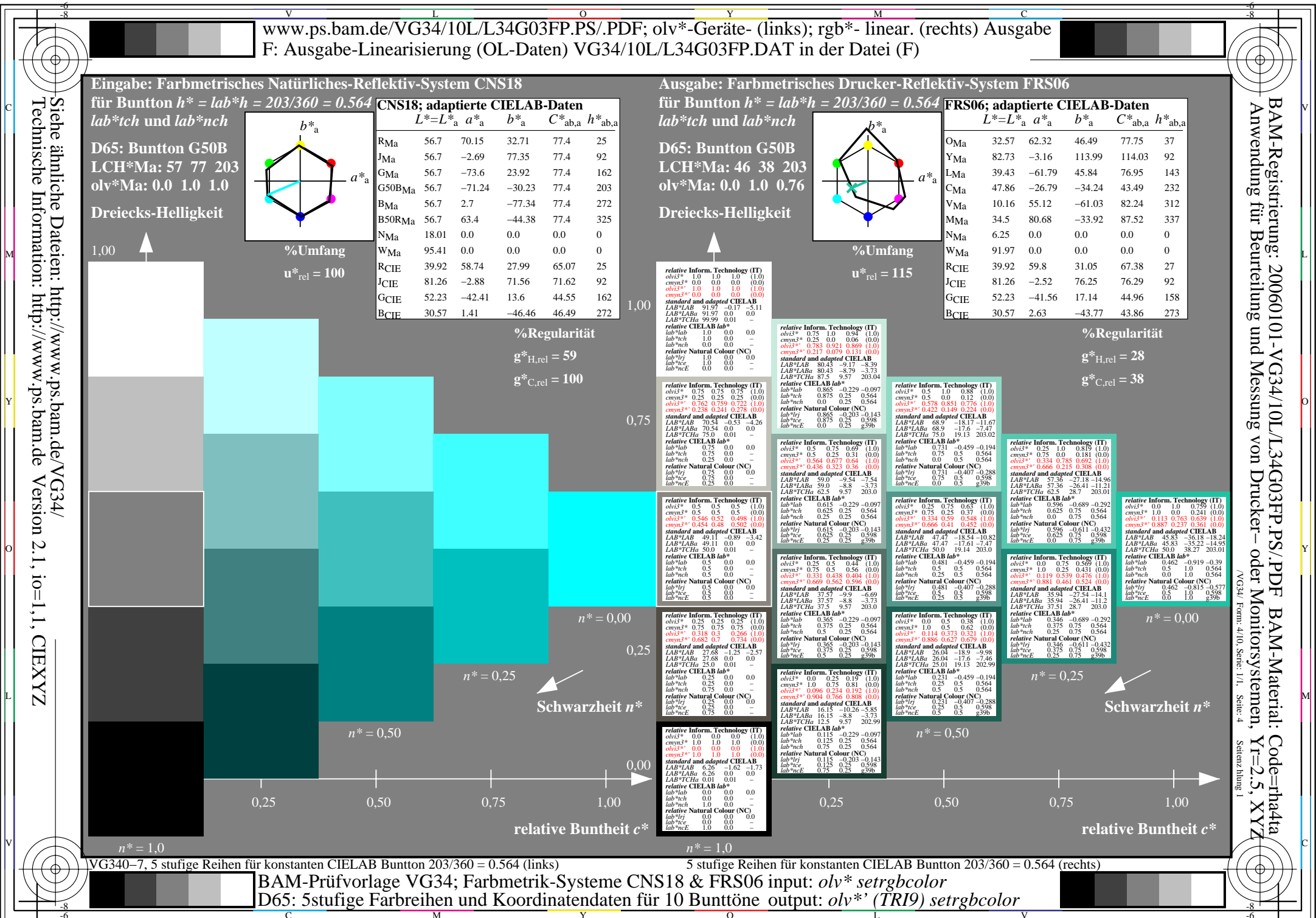
M

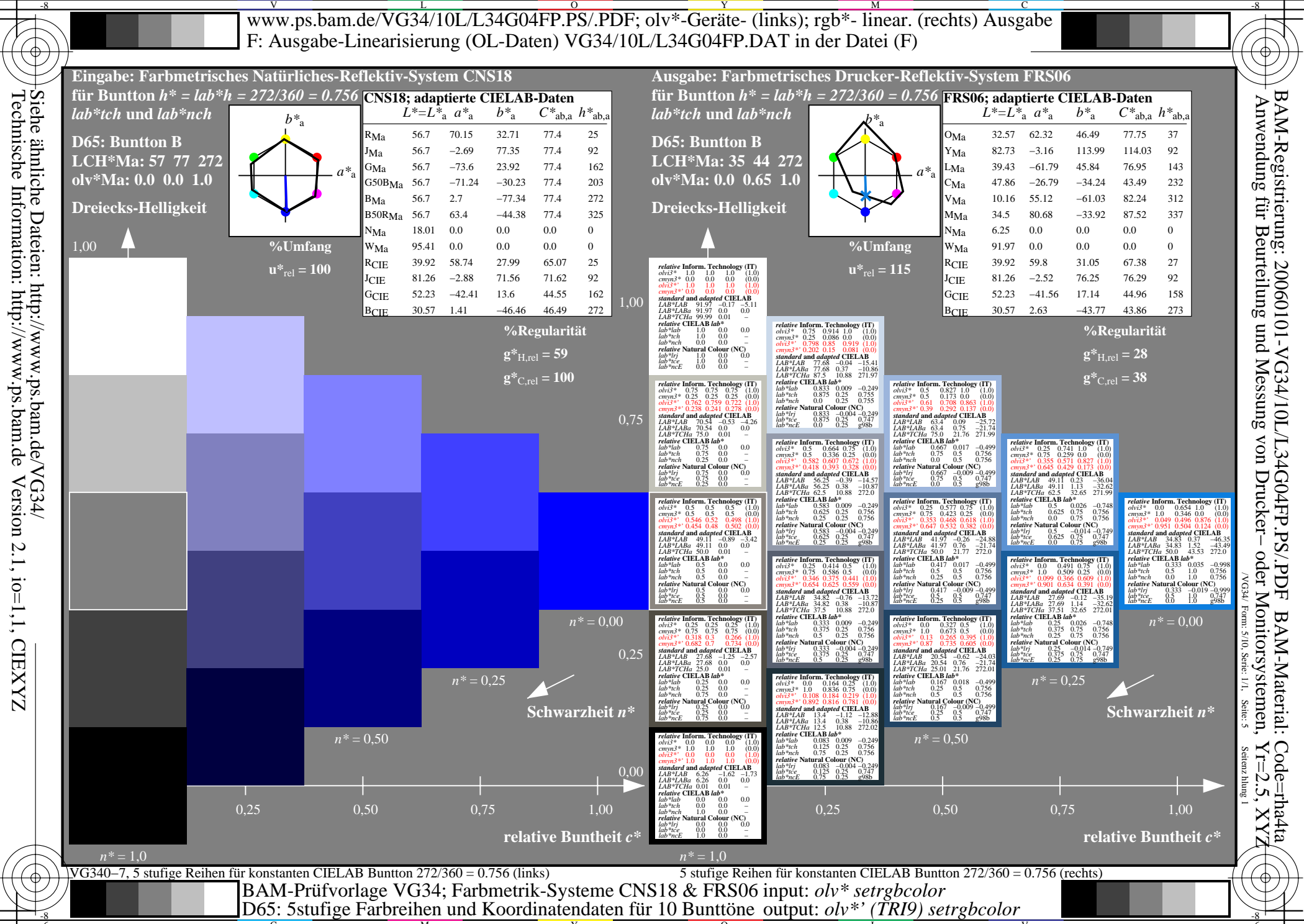
Y

O

L

V



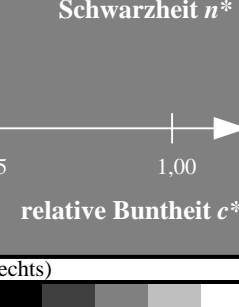
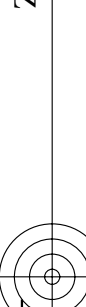




c  
M  
Y  
O  
L  
V

Siehe ähnliche Dateien: <http://www.ps.bam.de/VG34/>  
Technische Information: <http://www.ps.bam.de>

O  
L  
V



### Eingabe: Farbmétrisches Natürliches-Reflektiv-System CNS18

für Bunnton  $h^* = lab^*h = 325/360 = 0.903$

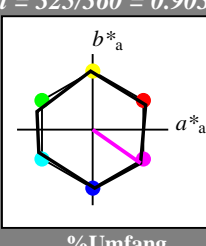
$lab^{*tch}$  und  $lab^{*nch}$

D65: Bunnton B50R

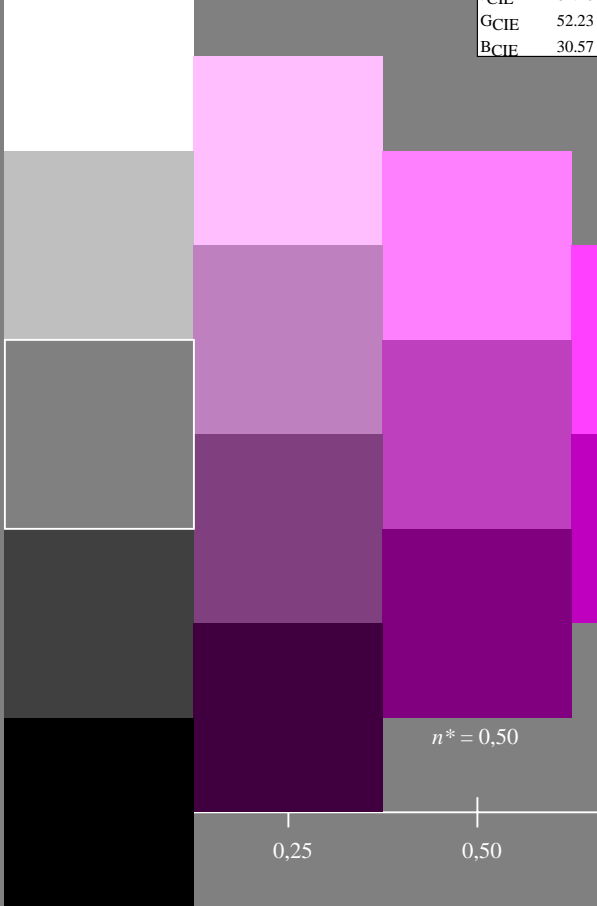
LCH\*Ma: 57 77 325

olv\*Ma: 1.0 0.0 1.0

Dreiecks-Helligkeit



1,00



n\* = 0,50

n\* = 0,25

n\* = 0,00

n\* = 0,25

relative Buntheit c\*

VG340-7, 5 stufige Reihen für konstanten CIELAB Bunnton 325/360 = 0.903 (links)

BAM-Prüfvorlage VG34; Farbmétrik-Systeme CNS18 & FRS06 input: olv\* setrgbcolor  
D65: 5stufige Farbreihen und Koordinatendaten für 10 Bunntöne output: olv\* (TRI9) setrgbcolor

### Ausgabe: Farbmétrisches Drucker-Reflektiv-System FRS06

für Bunnton  $h^* = lab^*h = 325/360 = 0.903$

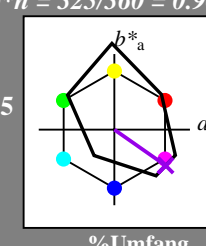
$lab^{*tch}$  und  $lab^{*nch}$

D65: Bunnton B50R

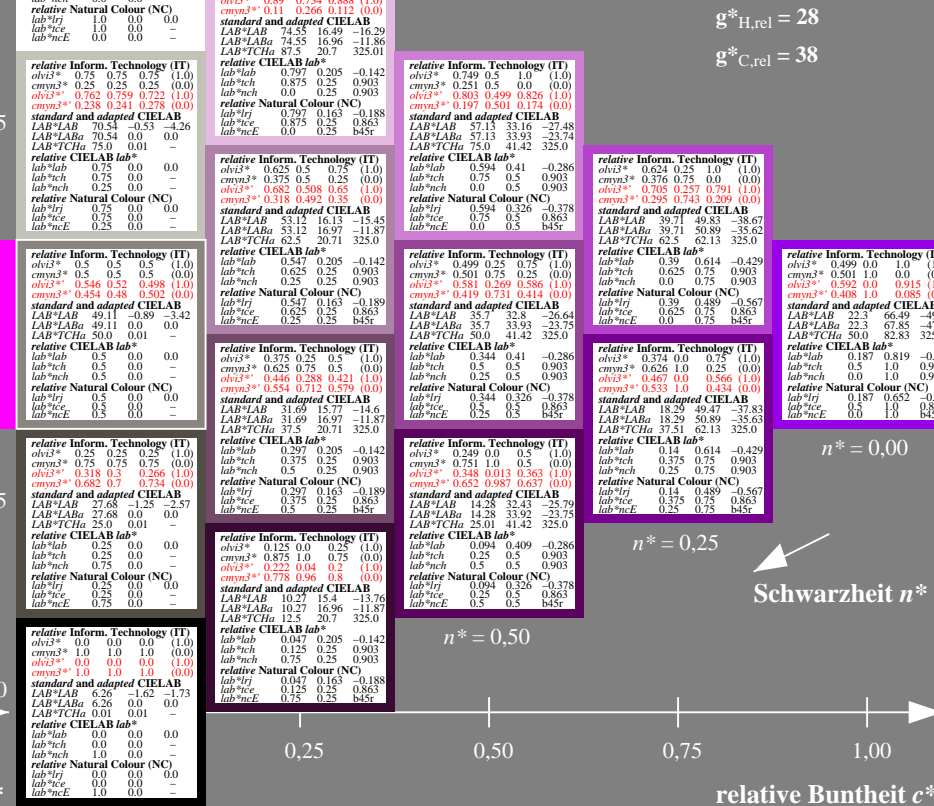
LCH\*Ma: 22 83 325

olv\*Ma: 0.5 0.0 1.0

Dreiecks-Helligkeit



1,00



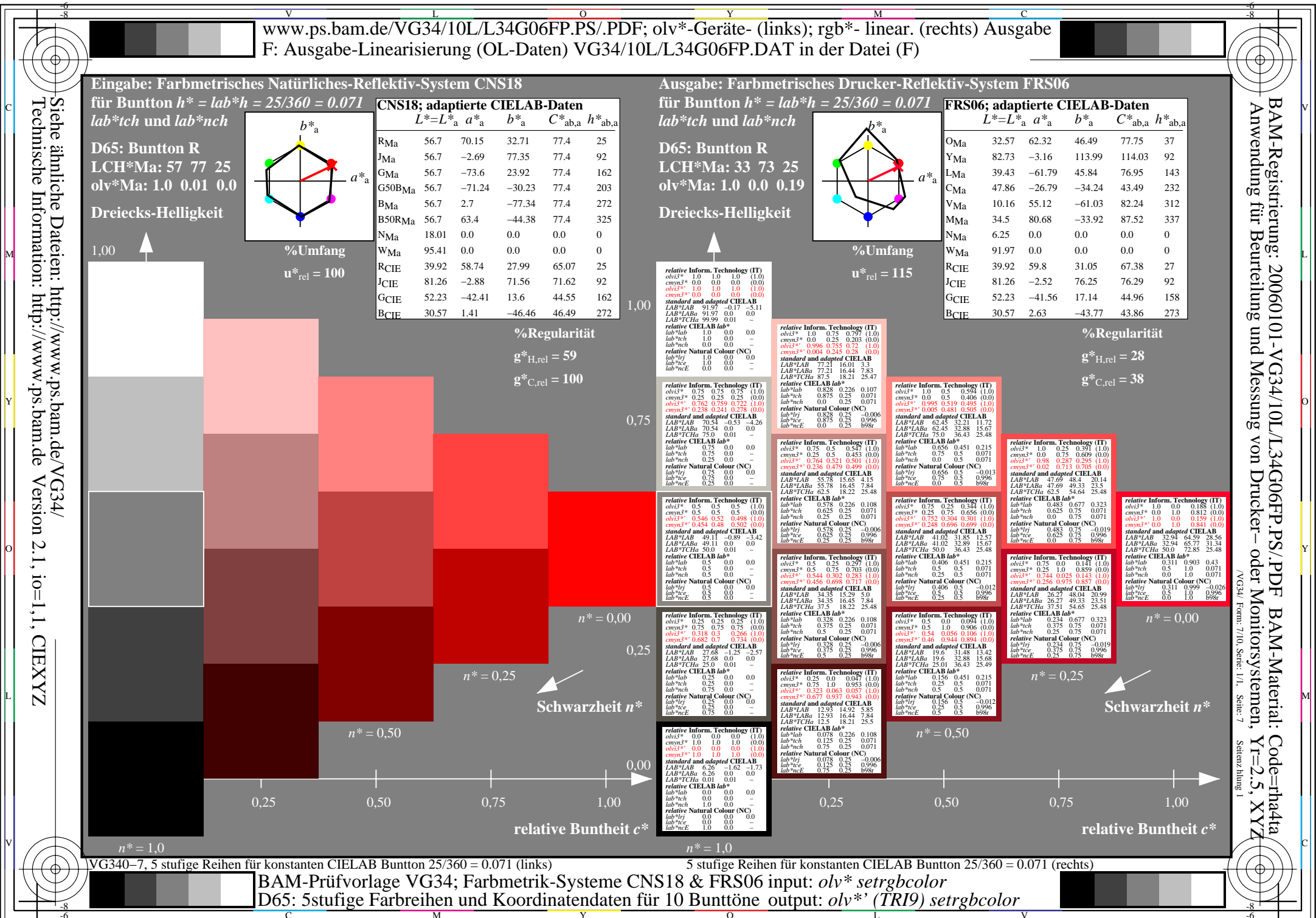
n\* = 0,50

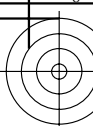
n\* = 0,25

Schwarzheit n\*

n\* = 1,0

5 stufige Reihen für konstanten CIELAB Bunnton 325/360 = 0.903 (rechts)



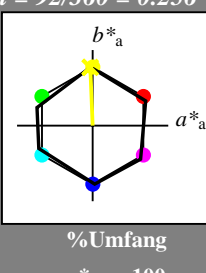


c  
 Siehe ähnliche Dateien: http://www.ps.bam.de/VG34/  
 Technische Information: http://www.ps.bam.de Version 2.1, io=11, CIEXYZ

Eingabe: Farbmétrisches Natürliche-Reflektiv-System CNS18  
 für Bunton  $h^* = lab^*h = 92/360 = 0.256$   
 $lab^*tch$  und  $lab^*nch$

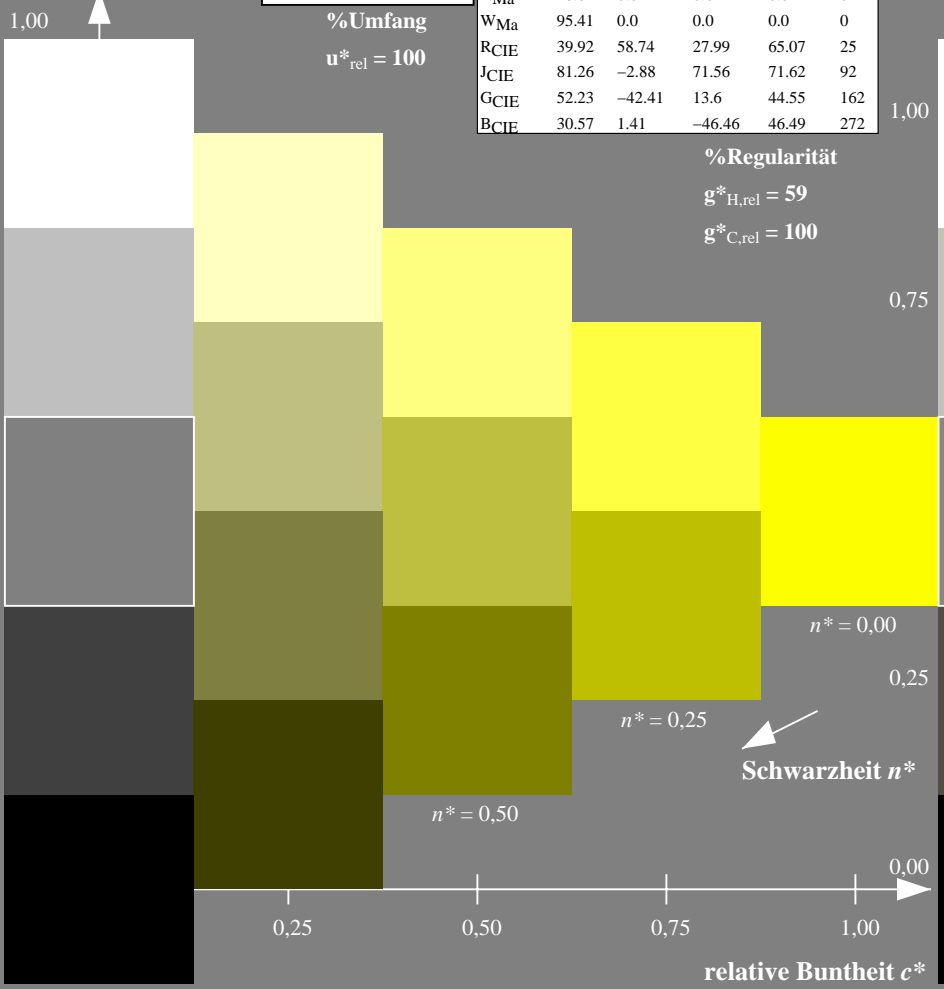
D65: Bunton J  
 LCH\*Ma: 57 77 92  
 olv\*Ma: 0.99 1.0 0.0

Dreiecks-Helligkeit



### CNS18; adaptierte CIELAB-Daten

	$L^*=L_a^*$	$a^*_a$	$b^*_a$	$C_{ab,a}^*$	$h_{ab,a}^*$
RMa	56.7	70.15	32.71	77.4	25
JMa	56.7	-2.69	77.35	77.4	92
GMa	56.7	-73.6	23.92	77.4	162
G50BMa	56.7	-71.24	-30.23	77.4	203
BMa	56.7	2.7	-77.34	77.4	272
B50RMa	56.7	63.4	-44.38	77.4	325
NMa	18.01	0.0	0.0	0.0	0
WMa	95.41	0.0	0.0	0.0	0
RCIE	39.92	58.74	27.99	65.07	25
JCIE	81.26	-2.88	71.56	71.62	92
GCIE	52.23	-42.41	13.6	44.55	162
BCIE	30.57	1.41	-46.46	46.49	272



VG340-7, 5 stufige Reihen für konstanten CIELAB Bunton 92/360 = 0.256 (links)

BAM-Prüfvorlage VG34; Farbmétrik-Systeme CNS18 & FRS06 input: olv\* setrgbcolor  
 D65: 5stufige Farbreihen und Koordinatendaten für 10 Bunttöne output: olv\*' (TRI9) setrgbcolor

Ausgabe: Farbmétrisches Drucker-Reflektiv-System FRS06

für Bunton  $h^* = lab^*h = 92/360 = 0.256$

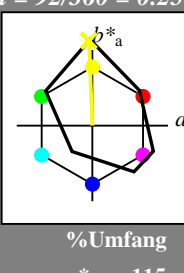
$lab^*tch$  und  $lab^*nch$

D65: Bunton J

LCH\*Ma: 82 112 92

olv\*Ma: 0.98 1.0 0.0

Dreiecks-Helligkeit



### FRS06; adaptierte CIELAB-Daten

	$L^*=L_a^*$	$a^*_a$	$b^*_a$	$C_{ab,a}^*$	$h_{ab,a}^*$
OMa	32.57	62.32	46.49	77.75	37
YMa	82.73	-3.16	113.99	114.03	92
LMa	39.43	-61.79	45.84	76.95	143
CMa	47.86	-26.79	-34.24	43.49	232
VMa	10.16	55.12	-61.03	82.24	312
MMa	34.5	80.68	-33.92	87.52	337
NMa	6.25	0.0	0.0	0.0	0
WMa	91.97	0.0	0.0	0.0	0
RCIE	39.92	59.8	31.05	67.38	27
JCIE	81.26	-2.52	76.25	76.29	92
GCIE	52.23	-41.56	17.14	44.96	158
BCIE	30.57	2.63	-43.77	43.86	273

%Regularität

$g^*_{H,rel} = 59$

$g^*_{C,rel} = 100$

relative Inform. Technology (IT)  
 $olv^3* 1.0 1.0 0.0 (1.0)$   
 $cmyn3* 0.0 0.0 0.0 (0.0)$   
 $olv3* 1.0 1.0 0.0 (1.0)$   
 $cmy3* 0.0 0.0 0.0 (0.0)$

standard and adapted CIELAB  
 $LAB^*LAB 91.97 0.0 0.0$   
 $LAB^*TCh 99.99 0.01 -$

relative CIELAB lab\*  
 $lab^*lab 0.0 0.0 0.0$   
 $lab^*tch 1.0 0.0 -$   
 $lab^*nch 0.0 0.0 -$

relative Natural Colour (NC)  
 $lab^*irj 0.0 0.0 0.0$   
 $lab^*ice 1.0 0.0 -$   
 $lab^*nCE 0.0 0.0 -$

relative Inform. Technology (IT)  
 $olv^3* 0.75 0.75 0.5 (1.0)$   
 $cmyn3* 0.25 0.25 0.5 (0.0)$   
 $olv3* 0.762 0.759 0.722 (1.0)$   
 $cmy3* 0.251 0.241 0.728 (0.0)$

standard and adapted CIELAB  
 $LAB^*LAB 70.54 0.53 -0.26$   
 $LAB^*TCh 75.54 0.01 -$

relative CIELAB lab\*  
 $lab^*lab 0.75 0.0 0.0$   
 $lab^*tch 0.75 0.0 -$   
 $lab^*nch 0.75 0.0 -$

relative Natural Colour (NC)  
 $lab^*irj 0.75 0.0 0.0$   
 $lab^*ice 0.75 0.0 -$   
 $lab^*nCE 0.75 0.0 -$

relative Inform. Technology (IT)  
 $olv^3* 0.744 0.745 0.75 (1.0)$   
 $cmyn3* 0.256 0.255 0.5 (0.0)$   
 $olv3* 0.795 0.798 0.765 (1.0)$   
 $cmy3* 0.288 0.285 0.355 (0.0)$

standard and adapted CIELAB  
 $LAB^*LAB 67.98 -1.71 23.94$   
 $LAB^*TCh 67.98 -1.12 28.12$

relative CIELAB lab\*  
 $lab^*lab 0.72 -0.009 0.25$   
 $lab^*tch 0.72 0.25 -0.25$   
 $lab^*nch 0.72 0.25 0.25$

relative Natural Colour (NC)  
 $lab^*irj 0.72 -0.001 0.25$   
 $lab^*ice 0.72 0.25 0.25$   
 $lab^*nCE 0.72 0.25 0.00g$

relative Inform. Technology (IT)  
 $olv^3* 0.494 0.495 0.5 (1.0)$   
 $cmyn3* 0.262 0.263 0.75 (0.0)$   
 $olv3* 0.502 0.502 0.5 (1.0)$   
 $cmy3* 0.248 0.248 0.5 (0.0)$

standard and adapted CIELAB  
 $LAB^*LAB 49.91 0.89 -3.42$   
 $LAB^*TCh 51.0 0.01 0.0$

relative CIELAB lab\*  
 $lab^*lab 0.0 0.0 0.0$   
 $lab^*tch 0.5 0.0 -$   
 $lab^*nch 0.5 0.0 -$

relative Natural Colour (NC)  
 $lab^*irj 0.0 0.0 0.0$   
 $lab^*ice 0.0 0.0 -$   
 $lab^*nCE 0.0 0.0 -$

relative Inform. Technology (IT)  
 $olv^3* 0.454 0.454 0.502 (1.0)$   
 $cmyn3* 0.246 0.246 0.5 (0.0)$   
 $olv3* 0.494 0.493 0.502 (1.0)$   
 $cmy3* 0.288 0.288 0.355 (0.0)$

standard and adapted CIELAB  
 $LAB^*LAB 49.91 0.89 -3.42$   
 $LAB^*TCh 50.0 0.01 0.0$

relative CIELAB lab\*  
 $lab^*lab 0.0 0.0 0.0$   
 $lab^*tch 0.5 0.0 -$   
 $lab^*nch 0.5 0.0 -$

relative Natural Colour (NC)  
 $lab^*irj 0.0 0.0 0.0$   
 $lab^*ice 0.0 0.0 -$   
 $lab^*nCE 0.0 0.0 -$

relative Inform. Technology (IT)  
 $olv^3* 0.449 0.449 0.5 (1.0)$   
 $cmyn3* 0.245 0.245 0.5 (0.0)$   
 $olv3* 0.493 0.493 0.502 (1.0)$   
 $cmy3* 0.287 0.287 0.355 (0.0)$

standard and adapted CIELAB  
 $LAB^*LAB 49.91 0.89 -3.42$   
 $LAB^*TCh 50.0 0.01 0.0$

relative CIELAB lab\*  
 $lab^*lab 0.0 0.0 0.0$   
 $lab^*tch 0.5 0.0 -$   
 $lab^*nch 0.5 0.0 -$

relative Natural Colour (NC)  
 $lab^*irj 0.0 0.0 0.0$   
 $lab^*ice 0.0 0.0 -$   
 $lab^*nCE 0.0 0.0 -$

relative Inform. Technology (IT)  
 $olv^3* 0.436 0.436 0.5 (1.0)$   
 $cmyn3* 0.235 0.235 0.5 (0.0)$   
 $olv3* 0.483 0.483 0.502 (1.0)$   
 $cmy3* 0.276 0.276 0.356 (0.0)$

standard and adapted CIELAB  
 $LAB^*LAB 49.91 0.89 -3.42$   
 $LAB^*TCh 50.0 0.01 0.0$

relative CIELAB lab\*  
 $lab^*lab 0.0 0.0 0.0$   
 $lab^*tch 0.5 0.0 -$   
 $lab^*nch 0.5 0.0 -$

relative Natural Colour (NC)  
 $lab^*irj 0.0 0.0 0.0$   
 $lab^*ice 0.0 0.0 -$   
 $lab^*nCE 0.0 0.0 -$

relative Inform. Technology (IT)  
 $olv^3* 0.425 0.425 0.5 (1.0)$   
 $cmyn3* 0.225 0.225 0.5 (0.0)$   
 $olv3* 0.472 0.472 0.502 (1.0)$   
 $cmy3* 0.265 0.265 0.356 (0.0)$

standard and adapted CIELAB  
 $LAB^*LAB 49.91 0.89 -3.42$   
 $LAB^*TCh 50.0 0.01 0.0$

relative CIELAB lab\*  
 $lab^*lab 0.0 0.0 0.0$   
 $lab^*tch 0.5 0.0 -$   
 $lab^*nch 0.5 0.0 -$

relative Natural Colour (NC)  
 $lab^*irj 0.0 0.0 0.0$   
 $lab^*ice 0.0 0.0 -$   
 $lab^*nCE 0.0 0.0 -$

relative Inform. Technology (IT)  
 $olv^3* 0.415 0.415 0.5 (1.0)$   
 $cmyn3* 0.215 0.215 0.5 (0.0)$   
 $olv3* 0.462 0.462 0.502 (1.0)$   
 $cmy3* 0.255 0.255 0.357 (0.0)$

standard and adapted CIELAB  
 $LAB^*LAB 49.91 0.89 -3.42$   
 $LAB^*TCh 50.0 0.01 0.0$

relative CIELAB lab\*  
 $lab^*lab 0.0 0.0 0.0$   
 $lab^*tch 0.5 0.0 -$   
 $lab^*nch 0.5 0.0 -$

relative Natural Colour (NC)  
 $lab^*irj 0.0 0.0 0.0$   
 $lab^*ice 0.0 0.0 -$   
 $lab^*nCE 0.0 0.0 -$

relative Inform. Technology (IT)  
 $olv^3* 0.405 0.405 0.5 (1.0)$   
 $cmyn3* 0.205 0.205 0.5 (0.0)$   
 $olv3* 0.45 0.45 0.502 (1.0)$   
 $cmy3* 0.245 0.245 0.358 (0.0)$

standard and adapted CIELAB  
 $LAB^*LAB 49.91 0.89 -3.42$   
 $LAB^*TCh 50.0 0.01 0.0$

relative CIELAB lab\*  
 $lab^*lab 0.0 0.0 0.0$   
 $lab^*tch 0.5 0.0 -$   
 $lab^*nch 0.5 0.0 -$

relative Natural Colour (NC)  
 $lab^*irj 0.0 0.0 0.0$   
 $lab^*ice 0.0 0.0 -$   
 $lab^*nCE 0.0 0.0 -$

relative Inform. Technology (IT)  
 $olv^3* 0.395 0.395 0.5 (1.0)$   
 $cmyn3* 0.195 0.195 0.5 (0.0)$   
 $olv3* 0.445 0.445 0.502 (1.0)$   
 $cmy3* 0.235 0.235 0.359 (0.0)$

standard and adapted CIELAB  
 $LAB^*LAB 49.91 0.89 -3.42$   
 $LAB^*TCh 50.0 0.01 0.0$

relative CIELAB lab\*  
 $lab^*lab 0.0 0.0 0.0$   
 $lab^*tch 0.5 0.0 -$   
 $lab^*nch 0.5 0.0 -$

relative Natural Colour (NC)  
 $lab^*irj 0.0 0.0 0.0$   
 $lab^*ice 0.0 0.0 -$   
 $lab^*nCE 0.0 0.0 -$

relative Inform. Technology (IT)  
 $olv^3* 0.385 0.385 0.5 (1.0)$   
 $cmyn3* 0.185 0.185 0.5 (0.0)$   
 $olv3* 0.435 0.435 0.502 (1.0)$   
 $cmy3* 0.225 0.225 0.361 (0.0)$

standard and adapted CIELAB  
 $LAB^*LAB 49.91 0.89 -3.42$   
 $LAB^*TCh 50.0 0.01 0.0$

relative CIELAB lab\*  
 $lab^*lab 0.0 0.0 0.0$   
 $lab^*tch 0.5 0.0 -$   
 $lab^*nch 0.5 0.0 -$

relative Natural Colour (NC)  
 $lab^*irj 0.0 0.0 0.0$   
 $lab^*ice 0.0 0.0 -$   
 $lab^*nCE 0.0 0.0 -$

relative Inform. Technology (IT)  
 $olv^3* 0.375 0.375 0.5 (1.0)$   
 $cmyn3* 0.175 0.175 0.5 (0.0)$   
 $olv3* 0.425 0.425 0.502 (1.0)$   
 $cmy3* 0.215 0.215 0.362 (0.0)$

standard and adapted CIELAB  
 $LAB^*LAB 49.91 0.89 -3.42$   
 $LAB^*TCh 50.0 0.01 0.0$

relative CIELAB lab\*  
 $lab^*lab 0.0 0.0 0.0$   
 $lab^*tch 0.5 0.0 -$   
 $lab^*nch 0.5 0.0 -$

relative Natural Colour (NC)  
 $lab^*irj 0.0 0.0 0.0$   
 $lab^*ice 0.0 0.0 -$   
 $lab^*nCE 0.0 0.0 -$

relative Inform. Technology (IT)  
 $olv^3* 0.365 0.365 0.5 (1.0)$   
 $cmyn3* 0.165 0.165 0.5 (0.0)$   
 $olv3* 0.415 0.415 0.502 (1.0)$   
 $cmy3* 0.205 0.205 0.363 (0.0)$

standard and adapted CIELAB  
 $LAB^*LAB 49.91 0.89 -3.42$   
 $LAB^*TCh 50.0 0.01 0.0$

relative CIELAB lab\*  
 $lab^*lab 0.0 0.0 0.0$   
 $lab^*tch 0.5 0.0 -$   
 $lab^*nch 0.5 0.0 -$

relative Natural Colour (NC)  
 $lab^*irj 0.0 0.0 0.0$   
 $lab^*ice 0.0 0.0 -$   
 $lab^*nCE 0.0 0.0 -$

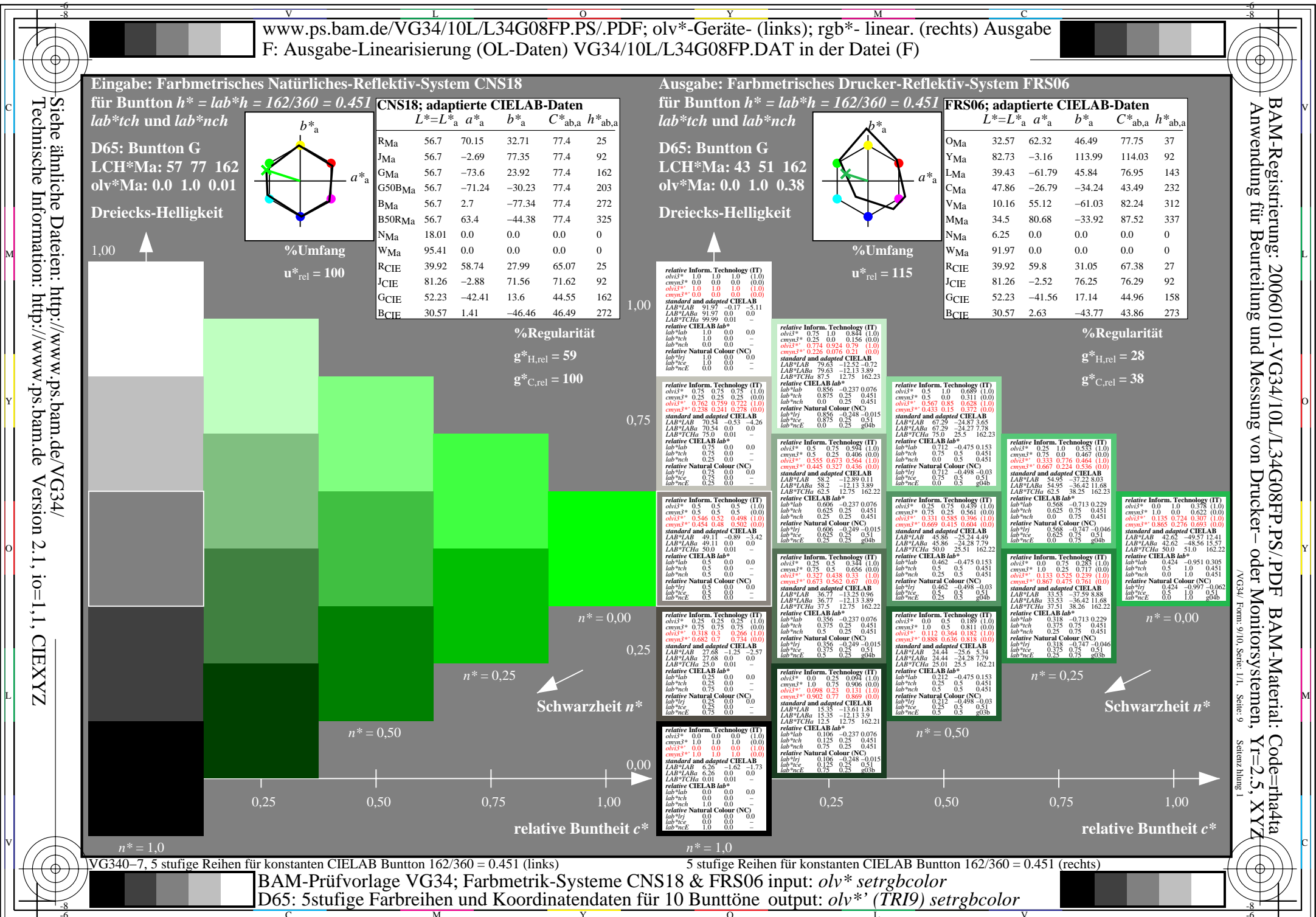
relative Inform. Technology (IT)  
 $olv^3* 0.355 0.355 0.5 (1.0)$   
 $cmyn3* 0.155 0.155 0.5 (0.0)$   
 $olv3* 0.405 0.405 0.502 (1.0)$   
 $cmy3* 0.195 0.195 0.364 (0.0)$

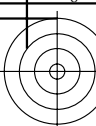
standard and adapted CIELAB  
 $LAB^*LAB 49.91 0.89 -3.42$   
 $LAB^*TCh 50.0 0.01 0.0$

relative CIELAB lab\*  
 $lab^*lab 0.0 0.0 0.0$   
 $lab^*tch 0.5 0.0 -$   
 $lab^*nch 0.5 0.0 -$

relative Natural Colour (NC)  
 $lab^*irj 0.0 0.0 0.0$   
 $lab^*ice 0.0 0.0 -$   
 $lab^*nCE 0.0 0.0 -$

relative Inform. Technology (IT)  
 $olv^3* 0.345 0.345 0.5 (1.0)$   
 $cmyn3* 0.145 0.145 0.5 (0.0)$   
 $olv3* 0.395$





### Eingabe: Farbmétrisches Natürliches-Reflektiv-System CNS18

für Bunnton  $h^* = lab^*h = 272/360 = 0.755$

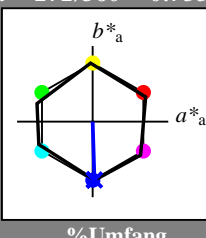
$lab^{*tch}$  und  $lab^{*nch}$

D65: Bunnton B

LCH\*Ma: 57 77 272

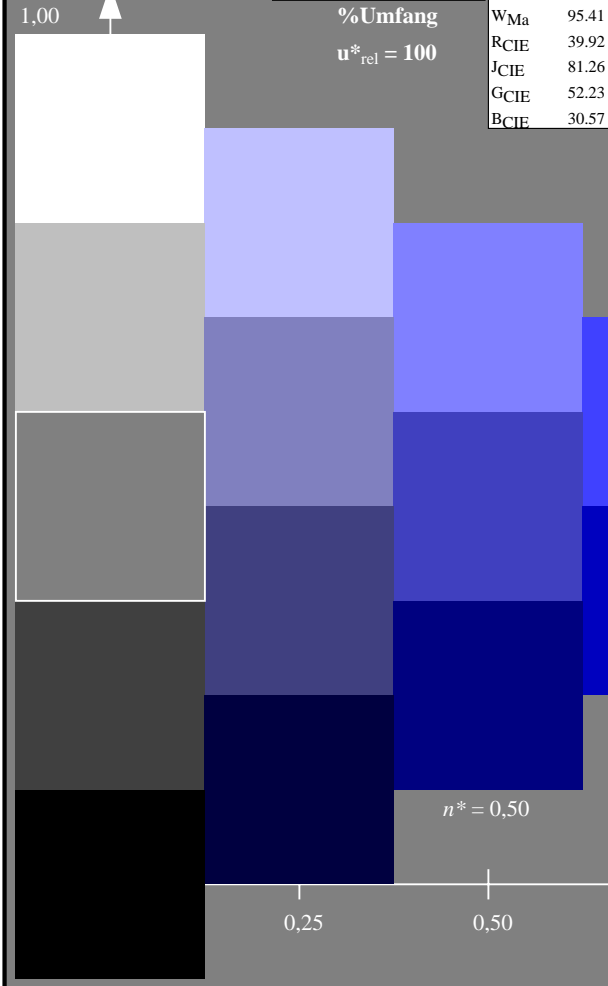
olv\*Ma: 0.0 0.0 1.0

Dreiecks-Helligkeit



### CNS18; adaptierte CIELAB-Daten

	$L^*$	$a^*$	$b^*$	$C^*$	$h^*$
RMa	56.7	70.15	32.71	77.4	25
JMa	56.7	-2.69	77.35	77.4	92
GMa	56.7	-73.6	23.92	77.4	162
G50BMa	56.7	-71.24	-30.23	77.4	203
BMa	56.7	2.7	-77.34	77.4	272
B50RMa	56.7	63.4	-44.38	77.4	325
NMa	18.01	0.0	0.0	0.0	0
WMa	95.41	0.0	0.0	0.0	0
RCIE	39.92	58.74	27.99	65.07	25
JCIE	81.26	-2.88	71.56	71.62	92
GCIE	52.23	-42.41	13.6	44.55	162
BCIE	30.57	1.41	-46.46	46.49	272



relative Buntheit  $c^*$

n\* = 1,0

0,00

0,25

0,50

0,75

1,00

n\* = 0,50

n\* = 0,25

n\* = 0,00

Schwarzheit  $n^*$

n\* = 1,0

0,00

0,25

0,50

0,75

1,00

relative Buntheit  $c^*$

n\* = 0,50

n\* = 0,25

n\* = 0,00

Schwarzheit  $n^*$

n\* = 1,0

0,00

0,25

0,50

0,75

1,00

relative Buntheit  $c^*$

n\* = 0,50

n\* = 0,25

n\* = 0,00

Schwarzheit  $n^*$

n\* = 1,0

0,00

0,25

0,50

0,75

1,00

relative Buntheit  $c^*$

n\* = 0,50

n\* = 0,25

n\* = 0,00

Schwarzheit  $n^*$

n\* = 1,0

0,00

0,25

0,50

0,75

1,00

relative Buntheit  $c^*$

n\* = 0,50

n\* = 0,25

n\* = 0,00

Schwarzheit  $n^*$

n\* = 1,0

0,00

0,25

0,50

0,75

1,00

relative Buntheit  $c^*$

n\* = 0,50

n\* = 0,25

n\* = 0,00

Schwarzheit  $n^*$

n\* = 1,0

0,00

0,25

0,50

0,75

1,00

relative Buntheit  $c^*$

n\* = 0,50

n\* = 0,25

n\* = 0,00

Schwarzheit  $n^*$

n\* = 1,0

0,00

0,25

0,50

0,75

1,00

relative Buntheit  $c^*$

n\* = 0,50

n\* = 0,25

n\* = 0,00

Schwarzheit  $n^*$

n\* = 1,0

0,00

0,25

0,50

0,75

1,00

relative Buntheit  $c^*$

n\* = 0,50

n\* = 0,25

n\* = 0,00

Schwarzheit  $n^*$

n\* = 1,0

0,00

0,25

0,50

0,75

1,00

relative Buntheit  $c^*$

n\* = 0,50

n\* = 0,25

n\* = 0,00

Schwarzheit  $n^*$

n\* = 1,0

0,00

0,25

0,50

0,75

1,00

relative Buntheit  $c^*$

n\* = 0,50

n\* = 0,25

n\* = 0,00

Schwarzheit  $n^*$

n\* = 1,0

0,00

0,25

0,50

0,75

1,00

relative Buntheit  $c^*$

n\* = 0,50

n\* = 0,25

n\* = 0,00

Schwarzheit  $n^*$

n\* = 1,0

0,00

0,25

0,50

0,75

1,00

relative Buntheit  $c^*$

n\* = 0,50

n\* = 0,25

n\* = 0,00

Schwarzheit  $n^*$

n\* = 1,0

0,00

0,25

0,50

0,75

1,00

relative Buntheit  $c^*$

n\* = 0,50

n\* = 0,25

n\* = 0,00

Schwarzheit  $n^*$

n\* = 1,0

0,00

0,25

0,50

0,75

1,00

relative Buntheit  $c^*$

n\* = 0,50

n\* = 0,25

n\* = 0,00

Schwarzheit  $n^*$

n\* = 1,0

0,00

0,25

0,50

0,75

1,00

relative Buntheit  $c^*$

n\* = 0,50

n\* = 0,25

n\* = 0,00

Schwarzheit  $n^*$

n\* = 1,0

0,00

0,25

0,50

0,75

1,00

relative Buntheit  $c^*$

n\* = 0,50

n\* = 0,25

n\* = 0,00

Schwarzheit  $n^*$

n\* = 1,0

0,00

0,25

0,50

0,75

1,00

relative Buntheit  $c^*$

n\* = 0,50

n\* = 0,25

n\* = 0,00

Schwarzheit  $n^*$

n\* = 1,0

0,00

0,25

0,50

0,75

1,00

relative Buntheit  $c^*$

n\* = 0,50

n\* = 0,25

n\* = 0,00

Schwarzheit  $n^*$

n\* = 1,0

0,00

0,25

0,50

0,75

1,00

relative Buntheit  $c^*$

n\* = 0,50

n\* = 0,25

n\* = 0,00

Schwarzheit  $n^*$

n\* = 1,0

0,00

0,25

0,50

0,75

1,00

relative Buntheit  $c^*$

n\* = 0,50

n\* = 0,25

n\* = 0,00

Schwarzheit  $n^*$

n\* = 1,0

0,00

0,25

0,50

0,75

1,00